

بهینه‌سازی تهیه فراصوتی و بررسی تورم ژل ابرجاذب با شبکه‌ساز متیلن بیس آکریل آمید

رجعلی ابراهیمی*

تاکستان، دانشگاه آزاد اسلامی واحد تاکستان، گروه شیمی

سید جلال حسینی

تهران، دانشگاه آزاد اسلامی واحد تهران مرکز، گروه شیمی

صلف لباسچی

تاکستان، دانشگاه آزاد اسلامی واحد تاکستان، گروه شیمی

چکیده: در این پژوهش، در محیط دوتایی گلیسرین/آب و دمای بدن، ابرجاذب، از منورهای آکریلی و عامل شبکه‌ساز به دست آمد. از کاوشگر و حمام فراصوت به عنوان منبع تابش استفاده شد. نتیجه‌های مربوط به اثر حلال، قدرت یونی، pH توان و چرخه فراصوت مورد تجزیه و تحلیل قرار گرفت. نتیجه‌های پژوهش نشان داد که با تغییر محیط واکنش، گرانروی تغییر کرده و سرعت واکنش تشکیل تغییر چشمگیری می‌کند. با افزایش توان صوتی و چرخه فراصوت، واکنش سریع تر انجام می‌شود چراکه این امر حفره‌سازی زیادتر و تولید رادیکال بیشتر از این راه را به دنبال دارد. این بررسی نقش پارامترهای مؤثر بر فرایند پلیمری شدن ابرجاذب را نمایان ساخته و کنترل آنها را در آزمایشگاه و صنعت امکان‌پذیر می‌سازد. برای بررسی اثرات تورمی ابرجاذب به دست آمده از فراصوت، آزمایش‌های مربوط به آن pH های گوناگون انجام شد. نتیجه‌های بررسی‌ها نشان داد که ابرجاذب آکریلی به دست آمده، حساسیت بالایی به pH داشته و با توجه به ساختار با تخلخل بالا و قابلیت کنترل تورم با این پارامترها، می‌توان از این ژل‌های حساس در جذب و رهایش سریع داروها بهره برد.

واژه‌های کلیدی: ابرجاذب، حمام فراصوت، گرانروی، تورم، اثر دما و pH

KEY WORDS: Super-absorbance, Ultrasonic bath, Viscosity, Swelling, Temperature & pH effects.

مقدمه

(در پژشکی) و امواج عرضی که در جامدها منتشر می‌شوند [۱]. امروزه استفاده از امواج فراصوت به صورت یک روش تشخیصی و درمانی مهم درآمده و پیشرفت روز به روز اثواب دستگاه‌های تولید امواج فراصوت، تحولات شگرفی در تشخیص و درمان در پژشکی و صنایع دیگر به وجود آورده است [۲]. در بازه‌ی فراصوت قوی یعنی

امواج فراصوت، شکلی از امواج مکانیکی هستند که بسامد آنها بالاتر از حد شنوایی انسان (۲۰ kHz) می‌باشد. هر موج (شنوایی یا فراصوت) یک آشفتگی مکانیکی در یک محیط گازی، مایع و یا جامد است که با سرعتی یکنواخت و معین حرکت می‌کند. این امواج دو دسته‌اند، امواج طولی که در بافت‌های بدن

* عهده دار مکاتبات

+E-mail: pr_ebrahimi_r@yahoo.com

واکنش ناشی از آن، شرایط بهینه برای تثبیت آنزیم داخل سلول با شرایط درنظر گرفته شده برای آنزیم آزاد تفاوت دارد [۲۳]. تاکنون روش‌های زیادی برای استخراج و بهبود کیفیت ژل‌ها انجام شده است [۲۴-۲۵]. سیف‌کردی و همکاران نشان دادند که افزودن مواد قندی به ژل پکتین به دست آمده از تفاله چندر قند باعث افزایش جهندگی و سختی در ژل به دست آمده از پکتین تفاله چندر قند می‌شود، درحالی که میزان جذب آب کاهش می‌یابد [۲۶]. افزایش غلظت پکتین باعث افزایش سختی این ژل می‌شود در حالی که در مورد جهندگی و جذب آب دارای یک مقدار بیشینه است. درنتیجه میزان آن باید بهینه باشد. افزودن کلسیم بر میزان سختی و درصد جذب آب تأثیر مثبت دارد اما باید میزان آن نیز بهینه باشد. میزان آنزیم پراکسیداز افزوده شده تأثیر مهمی بر میزان جهندگی و سختی ژل پکتین یاد شده دارد و درنتیجه باید میزان آن بهینه باشد [۲۷].

در کارپژوهشی حاضر، ابرجاذب آکریلی با عامل شبکه‌ساز متیلن بیس آکریل آمید در شرایط بهینه در حضور فراصوت ساخته شد و اثر برخی پارامترهای مهم بر این واکنش تولید بررسی شد. سپس تورم، سرعت و قدرت جذب آب آن مطالعه شد. در فرایند حاضر برتری‌های روشی از جمله آسان بودن و سرعت بالای بسپارش، ساختار شیمیایی و ویژگی‌های دلخواه هیدروژل به دست آمد همچنین ژل به دست آمده به کمک فراصوت از حساسیت خوبی در میزان تورم خود، نسبت به محیط‌های با اسیدیته و کاتیون‌های گوناگون برخوردار بوده و درنتیجه می‌توان از آن در سامانه‌های رهایش دارو به خوبی استفاده کرد فرایند ساده و سریع بوده و از نظر هزینه به صرفه است. تعییرات عده و بزرگی در ساختار شیمیایی و ویژگی‌های واکنشگرها صورت نمی‌گیرد و سرانجام اینکه، این فرایند تهیه را می‌توان به سایر ابرجاذب‌ها و ژل‌ها تعمیم داد.

بخش تجربی

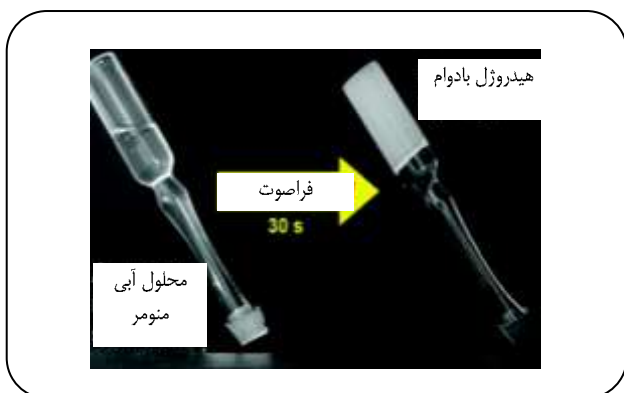
مواد اولیه و واکنش آنها

آب اکسیرنه ۳۵٪ سدیم هیدروکسید، سدیم کلرید، کلسیم کلرید، پتاسیم هیدروژن فتالات، پتاسیم دی‌هیدروژن فسفات، سدیم تترابورات و سدیم بی‌کربنات (همگی از مرک آلمان) بدون خالص‌سازی بیشتر به کار رفتند. آکریلیک‌اسید (مرک آلمان) پس از تقطیر در خلا به کار گرفته شد. آکریل آمید (فلوکای آلمان) و متیلن بیس آکریل آمید (فلوکای آلمان)، با تبلور دوباره خالص شدند. حلال مورد استفاده، آب مقطر دو بار تقطیر و گلیسیرول (مرک آلمان) خالص بود.

از حدود ۲۰kHz تا ۱۰۰kHz حفره‌های در مایع به وجود می‌آیند که پس از چند مرحله رشد نوسانی به یک اندازه ناپایدار رسیده و متلاشی می‌شوند [۱،۸]. در هنگام فروپاشی یک جباب، دما تا حدود K ۶۰۰۰ افزایش می‌یابد. اثر حفره‌سازی فراصوتی بر یک سامانه شیمیایی از روش تولید رادیکال‌هایی باشد که در حفره در حال رشد به وجود آمده و پس از فروپاشی آن، در محیط واکنش رها می‌شوند. این رادیکال‌ها می‌توانند نقش آغازگر را در واکنش‌های پلیمرشدن و واکنش‌های تشکیل ژل بازی کنند. حضور مواد افزودنی محلول در آب مانند گلیسیرول برای این کار الزامی است [۳]. به طور کلی ارزیابی گرانبوی یکی از بهترین راههای عملی برای دنبال کردن تشکیل / تخریب پلیمرها در یک محلول است. از این روش می‌توان در تشکیل / تخریب ابرجاذب در محیط‌های زنده و تهیه مواد زیستی نیز استفاده کرد [۴-۵].

فرایندهای پلیمری شدن به کمک فراصوت بر روی منومرهای آکریلی، بوتیل آکریلات، استایرن، بورتان و استر، دی‌فنیل متان و وینیل کلرید صورت گرفته است [۶-۹]. در مطالعه‌های انجام شده اثر پارامترهای محیطی (غلظت، دما، pH و مواد افزودنی) و پارامترهای دستگاهی (توان و چرخه فراصوت) مورد بررسی قرار گرفته است. با این حال، گزارش چندانی در مورد تهیه ابرجاذب در حضور فراصوت در دسترس نیست و این کار تنها در غیاب فراصوت انجام شده است [۱۰-۱۲]. آکریل آمید (AAm) و آکریلیک‌اسید (AA) از جمله مهم‌ترین منومرهای صنعتی هستند که مطالعه‌های زیادی بر روی ژل‌های به دست آمده از آنها و همچنین برخی از هیدروژل‌های دیگر صورت گرفته است [۱۳-۱۷]. با تغییرهای اسیدیته محیط [۱۸، ۱۹] و دما [۲۰-۲۱] می‌توان نفوذ پیشرفته‌ای از این ژل‌ها به داخل بافت‌های زنده را انتظار داشت.

امروزه ژل‌های طبیعی و سنتزی دارای کاربردهای زیادی در صنایع گوناگون دارویی، بهداشتی، پزشکی، زیست فناوری و کشاورزی هستند. در این میان کاربردهای آنها به عنوان عدسی‌های روی چشم، مواد پرکننده کانال دندان، قرنیه مصنوعی، زجاجیه، نای مصنوعی و برخی دیگر اعضای مصنوعی بدن به طور ویژه‌ای مورد توجه قرار گرفته است [۲۱]. آزمایش‌های مربوط به عملکرد ژل‌های پلیمری روی کاهش تولید آب اضافی، با ترکیب‌های متفاوتی از ژل‌پلیمرها و همچنین بررسی اثر پارامترهای متفاوت (دما، فشار، pH درصد شوری) به طور جداگانه انجام شده و ژل بهینه روی چندین مدل فیزیکی دربرگیرنده شرایط مورد نظر، ارزیابی شده است [۲۲]. به دلیل وجود ژل پلیمری کلسیم آثینات در اطراف سلول و افزایش



شکل ۱- فراصوت محلول آبی منومر را به ژل پایدار تبدیل می‌کند.

و کاوشگر تشکیل شد لکن زمان واکنش در حمام خیلی بیشتر و در عوض، مقدار فراورده هم زیادتر بود. استفاده از آغازگر در هر دو سامانه، روی زمان و مقدار فراورده بدهست آمده تأثیر چشمگیری نداشت. در دمای بالاتر فراورده سریع‌تر بدهست آمد و سرانجام بدون استفاده از گلیسیرین به عنوان حلال، فراورده تنها با زمان تابش طولانی و چند روز بعد دیده شد.

مقدارهای ژل خشک به دست آمده تأیید می‌کند که منومر به طور کامل به ژل تبدیل شده است. تورم نمونه‌های خشک بین ۱۲۵ تا ۱۵۰ (گرم بر گرم) بود. با زیاد شدن غلظت شبکه‌ساز در مخلوط واکنش، محتوى ژل زیاد و تورم آن کاهش، اما سختی و استحکام کششی ژل افزایش می‌یافتد. با کنترل میزان اتصالات عرضی می‌توان این دو خاصیت را موازن کرد.

اثر عامل‌های واکنش

(الف) اثر گرانروی

با افزایش نسبت گلیسیرون به آب، گرانروی زیاد شده و واکنش سرعت گرفت (شکل ۲). با این کار حفره‌سازی در حضور فراصوت افزایش چشمگیری داشته و زمان انجام واکنش کاهش می‌یافتد. با درصد گلیسیرون بالاتر از ۸۲٪ گرانروی با شبیه بیشتری زیاد و سرعت واکنش خیلی زیاد می‌شود بهطوری که در گلیسیرون خالص، واکنش در طول چند ثانیه کامل می‌شد.

(ب) اثر NaOH

برای کاربردهای صنعتی تهیه هیدروژل به کمک فراصوت، می‌توان فراورده آکریلی را با هر درصد ختنی شدن و با هر pH مورد نظر تهیه کرد. زیرا همان‌گونه که شکل ۳ نشان می‌دهد تغییر معناداری در زمان و سرعت انجام واکنش رخ نمی‌دهد موقعی که

مقدارهای بهینه برای شرایط محیطی و عامل‌های دستگاهی به صورت زیر بود: ۱۴ گرم حلال ۷۷۵ ملی‌لیتر گلیسیرون، مخلوط مونومری شامل ۷۵٪ گرم آکریل آمید و ۲۵٪ گرم آکریلیک اسید که با محلول سود تا ۳۰ درصد ختنی شده و ۱٪ گرم عامل شبکه‌ساز متیلن بیس آکریل آمید. واکنش در فشار محیط و دمای ثابت ۳۷ درجه سلسیوس انجام شد. فراصوت از یک سامانه کاوشگر و یک حمام فراصوت به مخلوط واکنش تاییده شد. هیچ‌گونه نمونه‌برداری از مواد داخل ظرف صورت نگرفت. از همzen مغناطیسی یا مکانیکی استفاده نشد. در پایان واکنش، فراورده ابرجاذب در چند مرحله با آب و اتانول شستشو داده شد و سرانجام در آون ۵۰ درجه خشک شد.

اندازه‌گیری گرانروی و جذب آب

گرانروی نمونه‌ها بعد از زمان‌های تابش معینی، با استفاده از یک گرانروی سنج چرخشی در دمای بدن انسان اندازه‌گیری شد. برای کار با نمونه‌های کم حجم، از یک Small Sample Adapter با یک اسپیندل استوانه‌ای توپر استینلس استیل (شماره ۶۲) با قابلیت ترمومتراته شدن و سرعت چرخش ۱۰۰ دور بر دقیقه استفاده شد. گرانروی‌های گزارش شده بر حسب cP یا mPa.s یا در بازه‌ی عددی بین ۲۰ تا ۵۰۰ قرار داشتند.

یک نمونه ۰/۱ گرمی از ژل خشک در ۱۵۰ میلی‌لیتر آب مقطر در دمای محیط قرار گرفت. در فاصله‌های دمایی معینی نمونه از محیط تورم جدا و توزین شد و دوباره به آن محیط برگردانده شد تا به تورم خود ادامه دهد. برای ساخت بافرها از محلول‌های ۱٪ مولار سود و هیدروکلریک اسید، پتاسیم هیدروژن فتالات (KHF)، پتاسیم دی‌هیدروژن فسفات، سدیم ترباپورات (STB) و سدیم بی‌کربنات استفاده شد. برای مثال برای ساخت بافر با pH برابر با ۵ مقدار ۱۰/۲۱ گرم KHF به ۲۲۶ میلی‌لیتر محلول ۱٪ مولار سود اضافه شد و برای تهیه بافر با pH برابر ۹ نیز ۴/۷۷ گرم STB در ۴۶ میلی‌لیتر محلول ۱٪ مولار HCl حل شد.

نتیجه‌ها و بحث

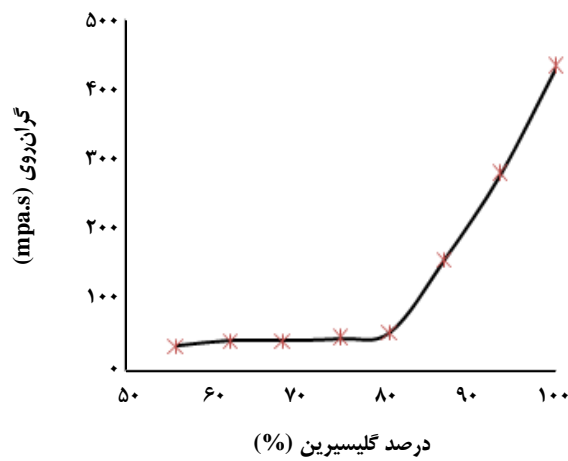
تبدیل ابرجاذب به کمک فراصوت

در شرایط بهینه یاد شده در بخش تجربی، ژل تشکیل شد و تن صوتی دستگاه فراصوت به خاطر افزایش گرانروی محیط تغییر کرد. تشکیل رادیکال‌های فعال در فرایند حفره‌سازی تنها در محیط گازرو امکان پذیر است. هیدروژل در هر دو سامانه حمام فراصوت

مقدارهای سود در مخلوط اولیه تغییر داده شد تا آکریلیک اسید در ساختار ژل به طور جزئی تا کامل خنثی شود.

(ج) اثر NaCl

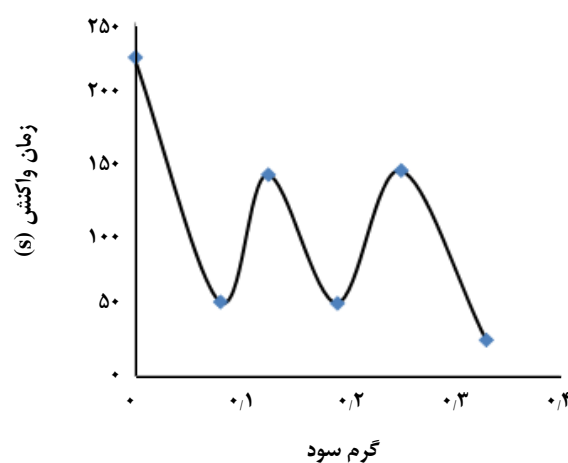
به مخلوط اولیه واکنش نمک طعام خالص اضافه شد. این بار هم تغییر معنی‌داری در زمان و سرعت واکنش دیده نشد. نتیجه اینکه تغییر قدرت یونی محیط واکنش هم تأثیری بر این فرایند ندارد. در واقع در سامانه واکنش مورد مطالعه، حفره‌سازی با فرাচوت تحت تأثیر اسیدیته و قدرت یونی محیط قرار نمی‌گیرد. درنتیجه در انتخاب مقدارهای این دو پارامتر در تهیه ژل در حضور فرآচوت محدودیتی وجود ندارد.



شکل ۲- تغییرهای گرانروی حلال بر حسب درصد گلیسرول.

(د) اثر آب اکسیژنه

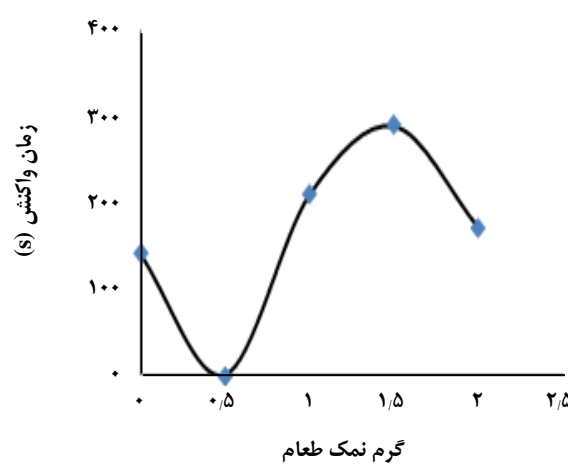
در حضور آب اکسیژنه، زمان لازم برای انجام واکنش ابتدا زیاد شده و سپس کاهش یافت. با تشکیل حفره با تابش فرآصوت، آب اکسیژنه به داخل حفره رفته و پس از فروپاشی حفره رادیکال‌های هیدروکسی را تولید کرد. این رادیکال‌ها با حمله به پیوند دوگانه در منومر، آنها را به رادیکال برای شروع پلیمرشدن تبدیل کردند. با مقدارهای بیشتر آب اکسیژنه حفره‌ها سریعتر تشکیل و منفجر می‌شوند و اثرات شیمیایی آنها کمتر می‌شود [۱، ۲].



شکل ۳- تغییر زمان واکنش تشکیل با مقدار سود در محیط.

(ه) اثر دما

رابطه عکس بین دما و زمان واکنش یک رفتار طبیعی در سیستمیک است هر چند که در این حالت یک رابطه آرنیوسی بین سرعت و دما دیده نمی‌شود. در دمای بالا، رادیکال‌ها که عامل اصلی پیشروی واکنش هستند سریعتر به وجود آمده و در مخلوط واکنش، سریعتر نفوذ می‌کنند.



شکل ۴- تغییر زمان واکنش تشکیل با مقدار نمک طعام.

بیشتر به دست آمداند ظاهری شیری رنگ داشتند در مقابل نمونه‌های به دست آمده با شبکه‌ساز کمتر، شفاف و چسبناک بودند.

ز) اثر pH بر تورم

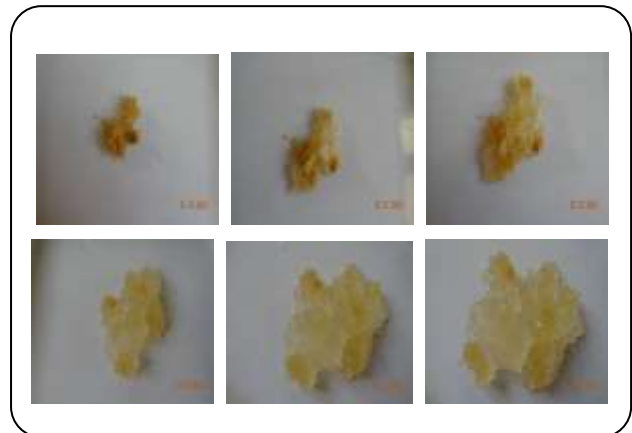
برای بررسی میزان حساسیت ابرجاذب، رفتار تورمی آن در بافرهایی با pH ۷، ۹ و ۱۱ مورد بررسی قرار گرفت (شکل ۶). بخش بیشتر تورم نمونه‌ها و جذب آب در ۲۰ دقیقه اول انجام شد و بیشترین تورم ژل در pH برابر با ۹ به دست آمد. در محیط اسیدی گروه آمونیوم (NH_3^+) و در محیط بازی یون کربوکسیلات (COO^-) روی ژل تشکیل می‌شوند، در pH های بیش از ۶، گروه‌های اسیدی کربوکسیلیک یونیزه می‌شوند که این امر منجر به افزایش جذب آب در pH های قلیایی می‌شود اما در pH بیشتر از ۹ و کمتر از ۵، به دلیل اثرات همپوشانی باز، جذب آب کاهش می‌یابد.

نتیجه‌گیری

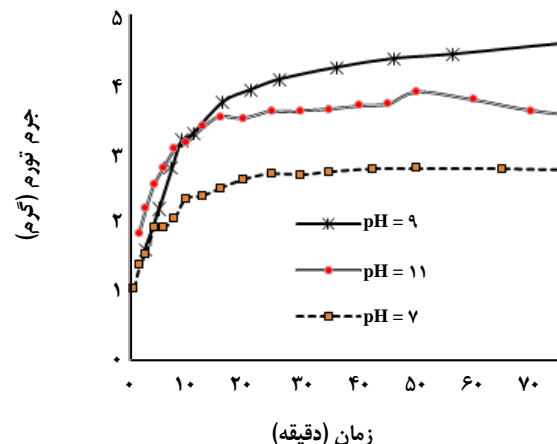
فناوری‌های تابش به دلیل نیاز نداشتن به آغازگر و کنترل آسان فرایند، ابزارهای بسیار مناسبی برای سنتز زیستمواد از جمله ابرجاذب‌ها هستند. ابرجاذب بر پایه آکریلیک اسید و آکریل آمید با عامل شبکه‌ساز متیلن بیس آکریل امید، در حضور فراصوت سنتز و تأثیر برخی عامل‌های محیطی و صوتی بر فرایند ساخت آن مطالعه شد. گرانزوی حلال بیشترین تأثیر را بر سرعت واکنش پلیمری شدن در حضور فراصوت دارد. همچنین واکنش تشکیل در دمای بالاتر، سریعتر انجام می‌شود توان و چرخه فراصوت اثر مستقیمی بر سرعت این واکنش دارد. این ابرجاذب، حساس به pH محیط است و برطبق نتیجه‌ها بررسی‌ها، در pH های پایین (محیط اسیدی) کمترین مقدار تورم در ژل دیده می‌شود. از ابرجاذب سنتز شده با فراصوت، به دلیل خاصیت تورم خوب، انعطاف‌پذیری و قابلیت کنترل توسط حرکت‌های خارجی می‌توان در دارورسانی ویژه روده، ساخت پانسمان، دارورسانی موضعی به صورت پماد ترمیم غضروف، مهندسی بافت، کاربردهای آرایشی و بوتاکس هم بهره گرفت.

قدرتانی

بخش بیشتر این پژوهش در آزمایشگاه شیمی دانشگاه آزاد اسلامی واحد تاکستان انجام شده است. درنتیجه، از معاون و مدیر محترم پژوهشی دانشگاه، کارشناس محترم آزمایشگاه و دانشجویان عزیزی که در این راهه نویسنده را کمک کردند تشکر و قدردانی می‌شود.



شکل ۵- تصویرهایی از فرایند تورم ژل بعد از هر دو دقیقه.



شکل ۶- اثر pH محلول بافری بر ظرفیت تورم ابرجاذب.

ز) اثر چرخه

نظیر اثر توان، زمان تشکیل ژل با بالا رفتن چرخه فراصوت نیز کاهش می‌یابد. در چرخه‌های کمتر از ۳، زمان واکنش بیشتر از ۲۰ دقیقه بود. همچنین با افزایش چرخه فراصوت، افزایش دما چشمگیرتر بوده و سردسازی ضرورت بیشتری پیدا می‌کند. چرخه ۷ به معنی آن است که در هر یک ثانیه، ۷ ثانیه فراصوت می‌تابد و ۳۰ ثانیه نمی‌تابد. چرخه ۵ به معنی آن است که در هر یک ثانیه نیمی از آن را تابش می‌شود زمان تابش، متفاوت از زمان واکنش تخریب شود. چرخه باعث می‌شود زمان تابش، متفاوت از زمان واکنش تخریب شود. به عبارت دیگر، وقتی چرخه تغییر می‌کند زمان تابش هم تغییر می‌کند در حالی که زمان واکنش ثابت است.

شکل ۵ تصویرهایی از تورم و جذب آب را نشان می‌دهد که با دوربین دیجیتال گرفته شده است. نمونه‌هایی که با مقدار شبکه‌ساز

تاریخ دریافت: ۱۳۹۱/۱۲/۱۲؛ تاریخ پذیرش: ۱۳۹۲/۲/۸

مراجع

- [۱] ابراهیمی، رجبعلی؛ میسون، تیموتی؛ [مقدمه‌ای بر سونوشیمی](#)، دانشگاه آزاد اسلامی واحد قزوین، فصل اول زمستان (۱۳۸۹).
- [۲] Mason T.J., Lorimer J.P., "Applied Sonochemistry: Uses of Ultrasound in Chemistry and Processing", Wiley-VCH, Verlag GmbH, Weinheim (2002).
- [۳] Cass P., Knower W., Pereira E., Holmes N., Hughes T., Preparation of Hydrogels via Ultrasonic Polymerization, *Ultrason. Sonochem.*, **17**: 326-332 (2010).
- [۴] Lawal O.S., Storz J., Storz H., Lohmann D., Lechner D., Kulicke W.M., Hydrogels Based on Carboxymethyl Cassava Starch Cross-Linked with di- or Polyfunctional Carboxylic Acids: Synthesis, Water Absorbent Behavior and Rheological Characterizations, *Europ. Polym. J.*, **45**: 3399-3408 (2009).
- [۵] Sakurada I., Shape of Threadlike Molecules in Solution and Relationship Between Solution Viscosity and Molecular weight, *Polym. J.*, **44**: 5-10 (2012).
- [۶] Teo B.M., Prescott S.W., Ashokkumar M., Grieser F., Ultrasound Initiated Miniemulsion Polymerization of Methacrylate Monomers, *Ultrason. Sonochem.*, **15**: 89-94 (2008).
- [۷] Anbarasan R., Jayaseharan J., Sudha M., Gopalan A., Sonochemical Polymerization of Acrylic Acid and Acrylamide in the Presence of a New Redox System, *J. Appl. Polym. Sci.*, **89**: 3685-3692 (2003).
- [۸] Qiu G., Nie M., Wang Q., Ultrasonically Initiated Emulsion Polymerization of Styrene in the Presence of Fe^{2+} , *Ultrason. Sonochem.*, **15**: 269-273 (2008).
- [۹] Price G.T., Recent Developments in Sonochemical Polymerization, *Ultrason. Sonochem.*, **10**: 277-283 (2003).
- [۱۰] Sachin R., Shirsath, Removal of Brilliant Green from Wastewater using Conventional and Ultrasonically Prepared Poly(Acrylic Acid) Hydrogel Loaded with Kaolin Clay: A Comparative Study, *Ultrason. Sonochem.*, **20**: 914-923 (2013).
- [۱۱] Rosiak J.M., Janik I., Kadlubowski S., Kozicki M., Kujawa P., Stasica P., Ulanski P., Nano-, Micro- and Macroscopic Hydrogels Synthesized by Radiation Technique, *Nucl. Instrum. Methods Phys. Res. Sec. B.*, **208**: 325-330 (2003).
- [۱۲] Norisuye T., Strybulevych A., Scanlon M., Page J., Ultrasonic Investigation of the Gelation Process of Poly(acrylamide) Gels, *Macromol. Symp.*, **242**: 208-215 (2006).
- [۱۳] Isik B., Kis M., Preparation and Determination of Swelling Behavior of Poly(acrylamide-co-acrylic acid) Hydrogels in Water, *J. Appl. Polym. Sci.*, **94**: 1526-1531 (2004).
- [۱۴] Xie J., Liu X., Liang J., Absorbency and Adsorption of Poly(acrylic acid-coacrylamide) Hydrogel, *J. Appl. Polym. Sci.*, **106**: 1606-1613 (2007).
- [۱۵] Park J., Kim D., Effect of Polymer Solution Concentration on the Swelling and Mechanical Properties of Glycol Chitosan Superporous Hydrogels, *J. App. Polym. Sci.*, **115**: 3434-3441 (2009).

- [16] Yin Y., Yang Y.J., Xu H., *Hydrophobically Modified Hydrogels Containing Azoaromatic Cross-Links: Swelling Properties, Degradation in Vivo and Application in Drug Delivery*, *Europ. Polym. J.*, **38**: 2305-2311 (2002).
- [17] Turan E., Caykara T., *Swelling and Network Parameters of pH-Sensitive Poly(acrylamide-co-acrylic acid) Hydrogels*, *J. Appl. Polym. Sci.*, **106**: 2000-2007 (2007).
- [18] Iqbal M.C., Amin M., Ahmad N., Halib N., Ahmad I., *Synthesis and Characterization of Thermo- and pH-Responsive Bacterial Cellulose/Acrylic Acid Hydrogels for Drug Delivery*, *Carbohydrate Polym.*, **88**: 465-473 (2012).
- [19] Pars R., Quijada-Garrido I., *Swelling Behaviour of Thermo-Sensitive Hydrogels Based on Oligo(ethylene Glycol) Methacrylates*, *Europ. Polym. J.*, **45**: 3418-3425 (2009).
- [20] Xiao L., Isner A.B., Hilt J.Z., Bhattacharyya D., *Temperature Responsive Hydrogel with Reactive Nanoparticles*, *J. App. Polym. Sci.*, **128**: 1804-1814 (2013).
- [۲۱] سربلوکی، محمدنبی؛ کاربرد پلیمر در پزشکی و درمان، نشریه شیمی و مهندسی شیمی ایران، (۱) ۲۲(۲) : ۲۸ تا ۱۳۸۲.
- [۲۲] وفایی سفتی، محسن؛ نادری، حسن؛ باغبان صالحی، مهسا؛ هاشمی نسب زواره، سیدرضا؛ احمد سجادیان، ولی؛ حسن، علی؛ مطالعه آزمایشگاهی عملکرد ژل پلیمرها به منظور جلوگیری از تولید آب در چاههای تولیدی نفت، نشریه شیمی و مهندسی شیمی ایران، (۲) ۲۷(۲) : ۲۱ تا ۳۰.
- [۲۳] وزیری بزدی، علی؛ اوتادی، مریم؛ سلطانی، فاطمه؛ سیف کردی، علی‌اکبر؛ خیرالعموم، آزاده؛ بهینه‌سازی شرایط تولید APA-6 بوسیله سلول E.coliATCC ۱۱۱۵۴ تثیت شده در ژل کلسیم آژینات، نشریه شیمی و مهندسی شیمی ایران، (۲) ۲۵(۲) : ۹۷ تا ۱۰۳.
- [۲۴] ابراهیمی حسینزاده، بهمن؛ عالمزاده، ایران؛ سیف کردی، علی‌اکبر؛ تاثیر پارامترهای متفاوت بر کیفیت و میزان جذب آب به وسیله ژل حاصل از پکتین تفاله چندر قند برای ساخت ابرجاذب، نشریه شیمی و مهندسی شیمی ایران، (۲) ۲۴(۲) : ۸۳ تا ۹۷.
- [۲۵] مسکوکی، عبدالمجید؛ مرتضوی، سیدعلی؛ مسکوکی، آرش؛ اثر امواج فراصوت بر قابلیت تمیزکنندگی مدول‌های مختلف غشاها پلیمری، نشریه شیمی و مهندسی شیمی ایران، (۳) ۲۹(۳) : ۱۵۷ تا ۱۶۷.